

TECHNIKA CIEPLNA

CZASOPISMO STOWARZYSZENIA DOZORU KOTŁÓW W WARSZAWIE

OFICJALNY ORGAN POLSKIEGO KOMITETU NORMALIZACYJNEGO DLA SPRAW KOTŁOWYCH

REDAKTOR: Inż. techn. JAN KOMARNICKI.

Wydawca: Stowarzyszenie Dozoru Kotłów w Warszawie.

REDAKCJA I ADMINISTRACJA: WARSZAWA, PIUSA XI 32, m. 12. TEL. 8-81-47.

GODZINY BIUROWE: REDAKCJI—PIĄTKI OD 18 DO 20 i ADMINISTRACJI—CODZIENNIE, OD 10 DO 15.

Inż. ADAM EMIL SIERZPUTOWSKI.

„O SPOSOBACH OBLICZANIA I PROJEKTOWANIA POŁĄCZEŃ RUROWYCH NA PARĘ WYSOKOPRĘŻNĄ I WYSOKO PRZEGRZANĄ“.

W ostatnich paru latach wykonano na Zachodzie, szczególnie w Niemczech, z wielkim niejednokrotnie nakładem pracy i kosztów szereg badań nad zachowaniem się połączeń rurowych na wysokoprężną i wysokoprzeżraną parę. Badania te doprowadziły do poznania przyczyn, dla których połączenia rurowe projektowane według zasad, stosowanych przy projektowaniu takich połączeń dla pary o średniej prężności i temperaturze, w nowych warunkach okazywały się w ruchu zawodne. Bliższa analiza czynników, mogących wpływać na powstawanie nieszczelności, pozwoliła nam ustalić nowe zasady, które mi się kierować winniśmy projektując połączenia rurowe dla pary wysokoprężnej i wysokoprzeżranej. Omówieniu tych zasad poświęcam ten artykuł. Przy opracowaniu go korzystałem z częściowo już opublikowanych wyników badań, wykonanych w Mannheimie.

Literatura:

E. Mayer. Die Hochdruck Flanschverbindung. Forschungen auf dem Gebiete des Ingenieurwesens, Sept/Oct. 1932. Nr. 5.

F. Marguerre. Hohe Dampftemperaturen. VDI., 19.III.1932, Nr. 12.

Salingré. Maschinenteile fuer Hochdruckheissdampf. VDI., 6.IX.1930. Nr. 36.

A. Pomp. u. Dahmen. Mitt. Kais.-Wilh.-Inst. Eisenforschg. 1927. S. 33.

A. Pomp. u. Ender. Mitt. Kais.-Wilh.-Inst. Eisenforschg. 1930. S. 127/147.

Projektując połączenie, mające funkcjonować w wysokiej temperaturze winniśmy uwzględnić dwa czynniki, które mogą mieć wpływ na prawidłową współpracę części ze sobą łączonych: 1) pełzanie tworzywa metalowego, 2) niejednakowo szybkie i niejednorodne nagrzewanie się części składowych połączenia.

Czem winniśmy się kierować, aby konstrukcyjnie opanować pełzanie, w jaki sposób uniknąć niszczących skutków nieuniknionej zresztą nierównomierności w nagrzewaniu się różnych części połączenia podczas rozruchu?

Pytania te wysunęły się na czoło innych zagadnień w związku z rozwojem zastosowań technicznych wysokoprężnej i wysokoprzeżranej pary. Odpowiedź na nie jest o tyle trudną, iż zagadnienie jest natury równie technologicznej, jak i wytrzymałościowej. Pomijając narazie kwestję właściwości tworzy-

wa, z którego wykonano różne elementy połączenia, zajmiemy się omówieniem postawionego powyżej zagadnienia (podania zasad racjonalnego konstruowania połączenia, mającego pracować w wysokich temperaturach) pod kątem widzenia jedynie rozruchu.

W zakresie dotychczas używanych prężności i temperatur stosowane typy połączeń zachowywały się tak dobrze, że wydawało się prawidłowem zastosowanie tych samych zasad konstrukcyjnych i tej samej metody obliczeń dla ciśnień wysokich. Pogląd ten okazał się błędny; doświadczenia jakie niebawem poczyniono wykazały, iż połączenia konstruowane według starych zasad w nowych warunkach pracy nie dorastały do stawianych im wymagań, mianowicie w krótkim stosunkowo czasie przestawały prawidłowo funkcjonować. Bliższa analiza różnych czynników, które na takie ograniczenie czasu życia połączenia wpływały wysunęła kwestję

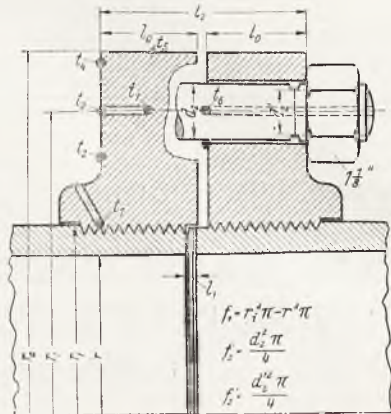
t. zw. „pełzania“ materiału, a stąd potrzebę rewizji podstawowych wiadomości o wytrzymałości tworzywa metalowego w wysokiej temperaturze. Między innymi wysunęła się kwestja nierównomiernego nagrzewania się różnych części tego samego połączenia podczas rozruchu, wysunęła się potrzeba projektowania połączenia również i pod tym kątem widzenia (rozruchu) — zaś tak skonstruowane połączenie nie zawsze będzie racjonalne ze względu na pełzanie materiału — może nie być również prawidłowym przy pracy w pełnym ruchu. Jeżeli dołączymy do tych problemów zagadnienie natury technologicznej — doboru odpowiednich materiałów z uwagi na pełzanie, otrzymamy pełny obraz trudności, które musimy pokonać, chcąc dać odpowiedź na postawione powyżej pytania.

W artykule niniejszym, jak wspomniałem, zajmę się jedynie kwestją rozruchu — i to szczególnego rodzaju połączeń, mianowicie połączeń rur parowych. Zagadnienie to — bardzo ważne w technice stosowania wysokoprężnej i wysokoprzegrzanej pary, jest tem ważniejsze, iż skutki ewentualnych nieszczelności połączeń rur, przewodzących taką parę, są groźne. Poczyniono już szereg doświadczeń nad trwałością rozmaitych rozwiązań konstrukcyjnych tych połączeń, i rezultaty ich pragnę teraz omówić.

Z wielkości odkształceń w pierścieniach uszczelniających wynikało, że w połączeniach prócz nacisku pary i naprężenia wstępnego czynne były znaczne naprężenia wywołane przez wydłużenia cieplne. Aby stwierdzić czy śruby, które zewnętrznie nic nie ucierpiały również na takie wydłużenia były narażone, wykonano szereg prób w laboratorium w Stuttgardzie, które wykazały znaczny spadek wytrzymałości tworzywa. Przystąpiono wobec powyższego do zbadania tych dodatkowych naprężeń, wynikających z wydłużeń cieplnych, aby móc skutecznie im przeciwdziałać.

Podczas rozruchu szybkość nagrzewania się ścianki rury parowej, kołnierzy i śrub łączących, a nawet szybkość nagrzewania wewnętrznej i zewnętrznej strony ścianki rury nie jest jednakowa. Początkowo zastanawiano się czy rozkład temperatur nie da się przewidzieć na drodze rozważań teoretycznych. Wskutek konieczności wprowadzenia zmiennej czasu zadanie komplikowało się i prowadziło poza granice zadania czysto praktycznego. Przystąpiono więc do pomiarów praktycznych, dokonanych jak wskazuje rys. 1 przy pomocy osadzonych w różnych miejscach spoin termopar. Termopary 1 — 4 mierzą rozkład temperatury w kołnierzu w kierunku promieniowym. Temperaturę śruby mierzymy na jej osi i w środku jej długości — umożliwiające jest przez nawiercenie śruby wzdłuż osi i umieszczenie termo-

pary 6 w otworze. Termopary 5 i 7 mierzą rozkład temperatury w kołnierzu w kierunku promieniowym na połowie jego grubości. Przy obliczaniu obciążenia śrub ważną jest przede wszystkim różnica między temperaturą śruby i kołnierza. Jeżeli dla obliczenia wydłużenia cieplnego kołnierzy przyjmujemy temperaturę t_1 na całej grubości kołnierzy, to wypadnie nam ono większe niż w rzeczy-



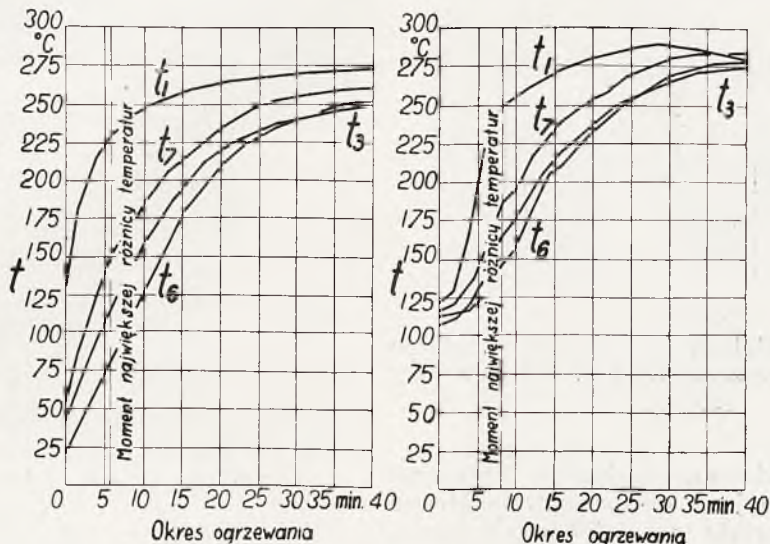
Rys. 1

Układ punktów pomiaru temperatury.

wistości, jak również i obliczone naprężenia, gdyż kołnierze na średnicy podziałowej śrub są zimniejsze. Prawidłowym jest założenie, iż temperatura t_1 panuje w obszarze wewnętrznej części kołnierza. Wydłużenie zewnętrznej części kołnierzy obliczamy na podstawie średniej temperatury na powierzchni kołnierza t_2 i w środku jego grubości t_3 . Termopary zostały tak osadzone, że spoina ich była zabezpieczona przed stratami ciepła. Temperatury były mierzone dla połączeń izolowanych i nieizolowanych.

Otrzymane wyniki, przedstawione na rys. 2, 3, 4 i 5, wskazują, iż różnice temperatur w poszczególnych częściach połączeń są wielokrotnie większe w czasie nagrzewania niż w czasie ruchu. Początkowo pomiary dokonywano w czasie nagrzewania przewodów w pobliżu turbin (rys. 2, 3) — przy czym para ogrzewająca je skraplała się; przy temperaturze około 300°C następowało prawie zupełne wyrównanie temperatur i dalszy wzrost ich (w obszarze pary przegrzanej) był bardzo powolny. Inaczej przedstawiało się to w pobliżu kotła, tam warunki są inne, gdyż podczas rozruchu duże ilości pary płyną przez niektóre przewody, a to celem chłodzenia przegrzewacza. Rys. 4 i 5 przedstawiają rezultaty tych pomiarów. Rys. 4 ze stanu zimnego, rys. 5 po ośmiogodzinnej przerwie w ruchu. Uruchamianie po przerwie nocnej jest mniej dla przewodów korzystne, gdyż dość duże ciśnienie w kotle pozwala na szybkie osiągnięcie normalnej prężności pary. Różnica temperatur między

ścianką rury (krzywa *a*) a środkiem kołnierza (krzywa *b*) wzrasta przy szybkim nagrzewaniu do 60° — temperatura śruby pozostaje w tyle o około 40° . Ponieważ w ściance rury istnieje pewien spadek temperatur, gwint również stawia pewien opór cieplny, a spadek temperatur postępuje w kierunku nazewnątrz, można szacować spadek temperatur miarodajny dla wielkości obciążenia kołnierza około $80^{\circ} - 90^{\circ}$.



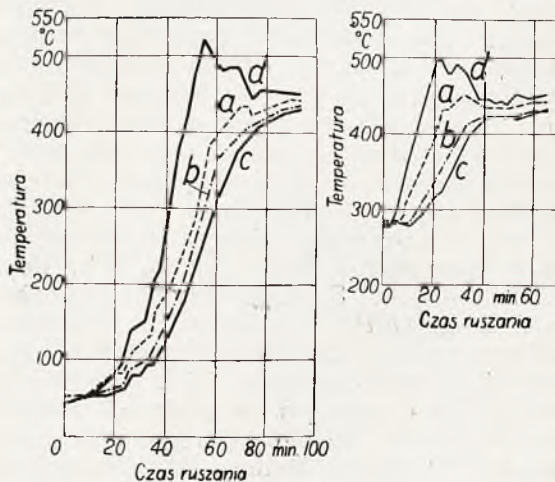
Rys. 2 i 3

Mierzony przebieg temperatury w różnych punktach krzyzy podczas ogrzewania przewodu (punkty pomiarowe 1, 3, 6 i 7 rys. 1).

Niedawno jeszcze typowym przykładem połączenia rurowego, kołnierowego było, jak wskazuje rys. 6, (w wykonaniu firmy A. Borsig) połączenie, które różniło się od analogicznego połączenia dla ciśnień niższych tem tylko, iż kołnierze były osadzone na rurze przy pomocy gwintu. Kołnierz jest u nasady przypawany do rury, co jest zabezpieczeniem przeciw ewentualnym momentom skręcającym. Pozatem uzupełnia to pracę gwintu, pozwalając lepiej podejmować naprężenia zginające, powstałe z momentu wywołanego naciągiem śrub.

Podczas ruchu jednak w połączeniach tych wystąpiły nieszczelności, które przypisano temu, iż między najgorętszą częścią kołnierza, a śrubą zachodziła różnica temperatury prawie 100° . Zastąpiono więc początkowo użyte normalne śruby przez inne ze stali Kruppa EFD 70 (wytrzymałość $100 - 110 \text{ kg/mm}^2$, granica płynności $90 - 95 \text{ kg/mm}^2$ na zimno). Rury i kołnierze wykonane były ze stali zlewnej o wytrzymałości $55 - 65 \text{ kg/mm}^2$ i granicy płynności na zimno 30 kg/mm^2 . Okazało się jednak, iż połączenia z gwintowanymi kołnierzami w zastosowaniu do wysokich temperatur i przy częstym uruchamianiu rozluźniają się nawet jeśli zastosować stal odporną na wysokie temperatury.

W wyniku odpowiednich przeliczeń, opartych na pomierzonych różnicach temperatur,

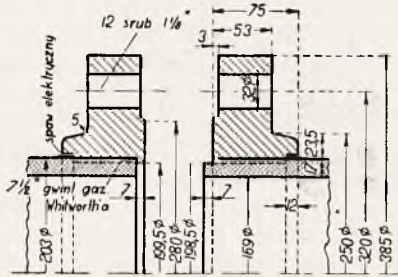


Rys. 4 i 5. Przebieg temperatury.

Rys. 4. Rozruch ze stanu zimnego. Rys. 5. Rozruch po przerwie trwającej od 6 do 8 godzin. *a* — zewnętrzna powierzchnia rury, *b* — środek grubości krzyzy, *c* — środek grubości śruby, *d* — oś przewodu parowego.

wyjaśniła się sprawa obluźowania kołnierzy na rurze. Jeżeli założymy w rachunku, że między wewnętrzną i zewnętrzną średnicą

kołnierzy występuje łączny spadek temp. 100° , że temperatury rozkładają się według zależności logarytmicznej, że skok temperatury między rurą a kołnierzem wynosi $3-4^{\circ}$, że wewnątrz ścianek rury zachodzi rozkład temperatur również według zależności logarytmicznej — otrzymamy, że połączenie powoduje wytworzenie się w rurze naprężenia ściskającego 26 kg/mm^2 . Do tego dochodzi jeszcze, od zewnętrznej krawędzi począwszy,

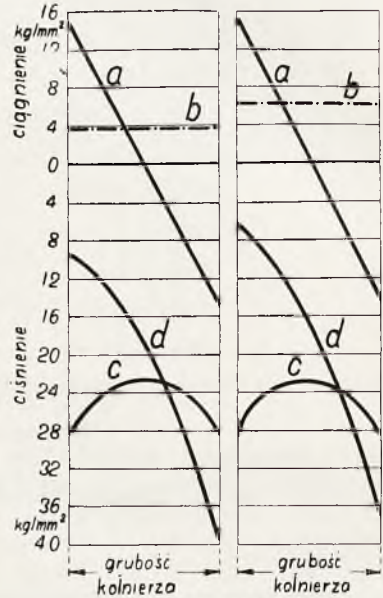


Rys. 6

Przekrój złącza ze stali lanej dla przewodów wysokiego ciśnienia. Średnica przewodu 175 mm . Ciśnienie pary 160 atn .

naprężenie powodowane ugięciem kołnierza i odciążająco działające ciśnienie wewnętrzne (pary). Dwa ostatnie naprężenia są mniej więcej równe i stosunkowo nieduże. Sumaryczne naprężenie w rurze leży więc poza granicą płynności przy 450° i powoduje już przy jednorazowym uruchomieniu daleko idące odkształcenia — dla ich wyjaśnienia nie trzeba się zatem zwracać do zjawiska pełzania materiału. Nawet rury ze stali wytrzymałej na wysokie temperatury, dla której granica płynności leży przy 450° powyżej 20 kg/mm^2 , będą się w tych warunkach odkształcać i z tego powodu luzować w kołnierzu. Naprężenie w skutek różnic temperatur w kołnierzu wynosi podczas rozruchu przy logarytmicznym rozkładzie temperatur 26 kg/mm^2 , wskutek zaś przeciwdziałania rury zmniejsza się ono o 4 kg/mm^2 . Ugięcie kołnierza daje dalsze naprężenia które sięgają 70% naprężeń w śrubach. Stosując wstępne naprężenia śrub 20 kg/mm^2 , co odpowiada 4-krotnemu naciskowi pary, otrzymamy naprężenia zginające 14 kg/mm^2 . Rysunki 7 i 8 przedstawiają rozkład tych naprężeń na grubości kołnierza dla połączenia wysokoprężnego i połączenia dla 40 at (według Dinorm 64). Sumaryczne naprężenia w czasie rozruchu są w kołnierzu stosunkowo wysokie, występują jednak tylko miejscowo i w przeciągu krótkiego czasu i przy średniej temperaturze kołnierza 350° . Przechodzą one z wolna w niewysokie trwałe naprężenia zginające, gdy kołnierz osiąga pełną temperaturę. Zaobserwowane silne ugięcie kołnierzy jest więc w istocie wynikiem pełzania. Następstwem jego jest również silne po pewnym czasie przegięcie

kołnierza, co powoduje ściśnięcie końca rury na której kołnierz jest osadzony i zmniejszenie średnicy rury, co można było wielokrotnie zaobserwować. Zrozumieliśmy więc stając się proces rozluźniania się połączenia powyższego rodzaju, jest on następstwem: 1) wytwarzania się, na krótki wprawdzie przeciąg czasu rozruchu, ale przekraczających granicę płynności naprężeń ściskających w ściance nagwintowanego końca rury. 2) ugięcia się pod wpływem pełzania kołnierza — stąd stałego ściskającego jego działania na rurę, co z kolei wywołuje zmniejszenie jej średnicy wskutek pełzania.



Rys. 7 i 8

Rozkład naprężeń w poszczególnych punktach przekroju kryzy. Rys. 7. Kryza 40 at ; Rys. 8 kryza 100 at .

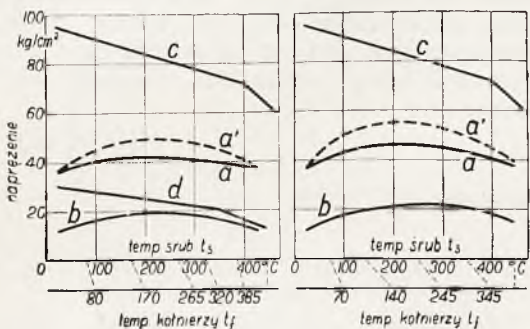
- a — naprężenie zginające,
- b — " wskutek reakcji rury,
- c — " nierównomierne nagrzewanie,
- d — " sumaryczne.

Analogicznie przeprowadzone obliczenie dodatkowych (na skutek niejednakowo szybkiego nagrzewania się kołnierzy i śrub podczas rozruchu) naprężeń w śrubach wykazało, jak duży wpływ na ich wielkość wywiera sprężystość kołnierza. Przyrostowi naprężenia np. $6-7 \text{ kg/mm}^2$ odpowiada dla kołnierza całkiem sztywnego prawie dwukrotny przyrost $11-13 \text{ kg/mm}^2$. Sumaryczne jednak naprężenia pozostają znacznie poniżej granicy płynności, nawet przy dużym naprężeniu wstępnym. Ponieważ wysokie różnice temperatur trwają tylko przez niewiele stosunkowo minut, należy zaobserwowane wydłużenia śrub tłumaczyć, jako wywołane wyłącznie przez pełzanie tworzącego metalowego w czasie dłuższego okresu pracy.

W samej rzeczy z wydłużenia się śrub (które naciągnięte zostały co najmniej na 30 kg/mm^2 ustalono po zdemontowaniu połączenia, że odciążły się one na 10 kg/mm^2

w rurociągu, będącym w ruchu 2000 godzin (temp. 450°), a w innym wypadku połączenia rurociągu, w którym śruby pracowały przez 3000 godzin, ale były o 10–15° chłodniejsze, odciażyły się one na 15 kg/mm². Cyfry te z powodu wielkiego rozproszenia wielkości pomierzonych można dać do ± 15% ścisłości.

To odciążenie wynika nie tylko ze wzrostu długości śrub, wywołanego pełzaniem, ale i wskutek przegięcia się kołnierzy. Obliczone stałe naprężenie w kołnierzu wynosi 2/3 naprężenia śrub. Na rys. 9 przedstawione są naprężenia w śrubach w zależności od temperatury w śrubie i kołnierzu.



Rys. 9

Obciążenie śrub przy różnicy temp. 20°–35° między śrubą a kołnierzem

Rys. 10

Obciążenie śrub przy różnicy temp. 30°–55° między śrubą a kołnierzem.

a—środek dług. śruby, napr. wstępne 36 kg/mm² a—to samo bez uwzględnienia sprężystości kołnierza, b—środek długości śruby, napr. wstępne 12 kg/mm², c—granica płynności materiału śrub, d—granica płynności materiału kołnierza, dla odciętej tk.

Na wykresie temperatury te umieszczone są pod sobą. Rysunek 10 przedstawia to samo, tylko różnica temp. jest o 20 wyższa, co zachodzi przy szybszym uruchamianiu.

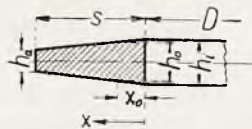
Aby móc na rys. 9 porównać krzywą „d” z innymi należałoby ją o 50% przesunąć w górę. Widzimy więc, że przy dużym wstępnym naprężeniu śrub przekroczenie granicy płynności, w sensie krótkotrwałego obciążenia nie jest wykluczone. Bardzo małe ugięcie kołnierzy bardzo wydatnie zmniejsza wielkość tego przekroczenia. W samym kołnierzu naprężenia również uległy zmniejszeniu na skutek jego przegięcia, które okazało się wielokrotnie większe niżby to wynikało ze sprężystego tylko odkształcenia. Należy to oczywiście przypisać pełzaniu, w następstwie czego naprężenia w kołnierzu spadły na około 7–10 kg/mm.

W obliczeniach wzięto za podstawę śrubę obtoczoną na średnicę rdzenia. Nieobtoczona śruba byłaby ze względu na pełzanie odpowiedniejsza. Przy rozruchu jednak naprężenia w najślabszym przekroju mogłyby

przekroczyć granicę płynności, pozatem elastyczność śruby znacznieby się zmniejszyła. Można by uniknąć do pewnego stopnia wydłużania się śrub i odkształcania się kołnierzy przez zastosowanie mniejszych naprężeń i stali molibdenowej.

Aby osiągnąć dobrą szczelność użyto początkowo szczeliwa o przekroju trapezowym. Uszczelnienia te jednak po krótkim czasie zaczęły przepuszczać parę i trzeba je było często dociągać, przyczem dociąganie było stale możliwe, co wskazywało na obecność stałych odkształceń wskutek przekroczenia naprężeń granicznych. Po unieruchomieniu przewodów zbadano stan pierścieni uszczelniających. Okazało się, że powierzchnie przylegania pierścieni były silnie zgniecione. Zgniot rozciągał się mniej więcej na 1/3 szerokości pierścienia. Część pierścieni była pęknięta. Pęknięcia wybiegały z rys promieniowych nagrzewanych przez parę. Zewnętrzne włókna pierścieni wykazywały charakterystyczne dla rozciągania przewężenia, wskazujące, że pierścienie zniszczone zostały przez rozciąganie w kierunku obwodowym.

Przyczynę takiego zniszczenia pierścieni uszczelniających łatwo wykazać rachunkowo: wysokość „h” w odległości „x” od krawędzi wynosi:



Rys. 11

Przekrój trapezowego pierścienia uszczelniającego.

$$h = h_l - \frac{h_l - h_a}{s} \cdot x$$

Jeśli pierścień zostanie ściśnięty o 1/4 (h_l – h_a) to wysokość „h” (odległość między płaszczyznami równoległymi ograniczającymi pierścień) wyniesie 3/4 h_l + 1/4 h_a, a odkształcenie:

$$e = \frac{h - h_0}{h}$$

Dla wartości h_l = 0,6 cm, h_a = 0,3 cm wyniesie e = 0,125. W założeniu nieograniczonej stosowności prawa Hook’a wyniosłoby odpowiedni nacisk S = 250.000 kg/mm². Oczywiście tworzywo takich naprężeń niewytrzyma — płynie, rzecz prosta, w kierunku na zewnątrz (promieniowym), wskutek czego zewnętrzne włókna pracują na zrywanie. Wyparta objętość w naszym wypadku wynosi 0,754 cm³. Przyjmując w przybliżeniu materiał za nieściśliwy, otrzymamy, że pierścień wysunął się na zewnątrz o Δr = 0,025 cm. Dla tej wartości odkształcenie w kierunku stycznej wynosi e_t = 2,935 · 10⁻³, a odpowiednie naprężenie σ = 65 kg/mm². W ten sposób wytrzymałość zewnętrznej części pierścienia uszczelniającego, pracującej na rozrywanie jest prawie zupełnie wyczerpana. Proces powstawania rys i bruzd na powierzchni

szczeliwa można sobie w następujący sposób uzmysłowić: przy zgnioście szczeliwa następuje przesunięcie się cząsteczek w szczeliwie i rozkład ich na powierzchni ulega zmianie. Powierzchnia staje się nierówną; przez tę nierówność para wypływa i wymywa wyraźne już rysy. Przez dociągnięcie śrub wyrównujemy odkształcenia stałe szczeliwa.

Reasumując to wszystko dochodzimy do wniosku, że przekrój trapezowy pierścieni uszczelniających jest nieodpowiedni. Pierścienie te zostały usunięte i zastąpione innymi o przekroju prostokątnym, przy czym część pierścieni wykonano z metalu Monela—część z niklu. Zdecydowanej różnicy w pracy tych szczeliw nie zaobserwowano i należy materiały te uznać za jednakowo pod tym względem wartościowe.

Konstrukcyjnie lepsze jest połączenie w którym prócz szczeliwa zastosowano jeszcze spawanie. Połączenie to po pierwszych trud-

nościach z połączeniami, w których kołnierze osadzone były na gwincie, firma Borsig udoskonaliła i wprowadziła w swych kotłach. Naprężenia w zgrubieniu na końcu rury zależą w znacznym stopniu od położenia szczeliwa i są nieduże. W wypadku granicznym działa tylko siła nacisku pary, która powoduje naprężenia około 3 kg/mm^2 . Zadaniem śrub jest w istocie tylko odciążenie spawu i mogą one z tego powodu być liczone na pojedynczy nacisk pary. Należy jednak zawsze baczyć, aby przy połączeniach armatur, które nie są spawane, śruby były ze względu na pełzanie słabo obciążone.

W kołnierzach występują przy nagrzewaniu tylko naprężenia wewnętrzne i naprężenia pochodzące od sił tarcia; trwałych odkształceń na skutek przekroczenia granicy płynności przy rozruchu obawiać się nie należy.

(D. c. n.).

Dr. Inż. STANISŁAW JAMRÓZ.

ZAGADNIENIE DOPUSZCZALNYCH NAPRĘŻEŃ DLA BLACH KOTŁOWYCH Z UWZGLĘDNIENIEM WPŁYWU TEMPERATURY.

Podajemy, choć w streszczeniu, ostatnią pracę przedwcześnie zgasłego s. p. Dr. Inż. Stanisława Jamroza, kierownika Mechanicznej Stacji Doświadczalnej Politechniki Lwowskiej, drukowaną w *Czasopiśmie Technicznym* we Lwowie 1932 r., która obejmuje tak niezwykle ważne dla przemysłu zagadnienie i jest pierwszą w Polsce z tej dziedziny.

Zagadnieniem wpływu temperatury na własności wytrzymałościowe blach kotłowych zajęła się Mechaniczna Stacja Doświadczalna Politechniki Lwowskiej na zaproszenie Komisji Kotłowej Polskiego Komitetu Normalizacyjnego przy opracowaniu przepisów o kotłach parowych. Przy porównaniu wyników zagranicznych badań granicy płynności blach kotłowych, Komisja Kotłowa uznała, że wyniki tych badań są rozbieżne i wymagają sprawdzenia na materiałach krajowych. Zadanie to zostało powierzone M. S. D. P. L., a koszta badania zostały częściowo pokryte przez zainteresowany przemysł i Stow. Dozoru Kotłów w Warszawie, częściowo przez M. S. D. P. L.

W literaturze technicznej różnią się niekiedy określenia, dotyczące wielkości charakterystycznych wykresu rozrywania próbki, są one więc zaznaczone na rys. (1).

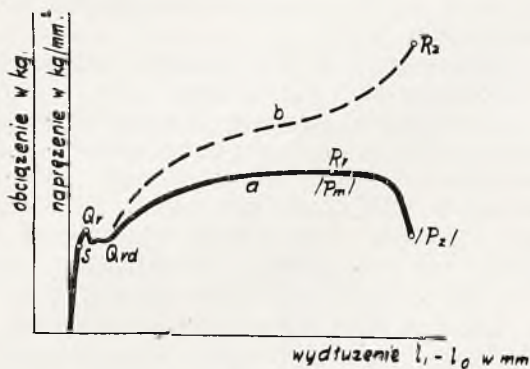
W niektórych gatunkach stali granica płynności nie uwidacznia się na wykresie w podany wyraźny sposób, dlatego podaje się ją przy umownej wartości wydłużenia plastycznego np. $0,2\%$.

Wytrzymałość na rozciąganie jest jednym z pierwszych przybliżeń, służących do określania dopuszczalnych naprężeń, jednak w wielu wypadkach przybliżenie to nie jest wystarczające i wymaga, albo obrania większego współczynnika pewności, albo szukania dalszych przybliżeń granicznego bezpiecznego naprężenia.

Ponieważ wpływ temperatury na granicę płynności jest wybitniejszy aniżeli na wytrzymałość na rozciąganie, więc podstawą do ustalenia naprężenia dopuszczalnego powinna być raczej granica płynności. Również i w temperaturze otoczenia wydaje się słuszniejsze wyjście z granicy płynności, jednak przy tych temperaturach stosunek granicy płynności do wytrzymałości na rozciąganie jest mniej więcej stały i wynosi ponad 0,5, praktycznie więc jest to obojętne, jaki sposób zostanie zastosowany.

Przepisy Min. Przem. i Handlu, dotyczące materiałów, nie podawały wyraźnej definicji granicy płynności, a naturalna granica płynności nie zawsze da się przy próbie wyz-

naczyć, przyjęto więc, w porozumieniu ze Stowarzyszeniem Dozoru Kotłów w Warszawie, jako granicę płynności tę wartość naprężenia, przy której odkształcenie trwałe wynosi 0,2%. Naprężenie to odpowiada w przybliżeniu naturalnej granicy płynności, stąd też nazywamy go granicą płynności przy 0,2%, lub granicą odkształcenia 0,2%, zastępczą granicą płynności, lub krótko granicą płynności.



Rys. 1

- a — wykres obciążeń, wzgl. naprężeń w odniesieniu do przekroju pierwotnego próbki;
b — wykres naprężeń w odniesieniu do przekroju chwilowego próbki.

- S — granica sprężystości w kg/mm^2 — największe naprężenie, dla którego próbka nie wykazuje żadnych plastycznych odkształceń;
Q_r — naturalna granica płynności górna w kg/mm^2 krótko naturalna granica płynności — naprężenie, dla którego znaczniejszy wzrost wydłużenia następuje bez wzrostu, a nawet przy spadku obciążenia;
Q_{rd} — naturalna granica płynności dolna w kg/mm^2 — najmniejsza wartość naprężenia po przekroczeniu punktu Q_r.

Na wartość granicy płynności już w temperaturze otoczenia ma wpływ szybkość i czas trwania obciążenia. O ile dla tej temperatury różnice te są nieznaczne i mogą być pominięte, to ze wzrostem temperatury wpływ czasu trwania obciążenia staje się decydujący.

I tak badania Körbera i Pompa¹⁾, przeprowadzone w zakresie 300° do 600°, wykazały, że do ~ 300° wartość granicy płynności oznaczona dopiero po 10 minutach praktycznie ustala się. Uzyskana w ten sposób granica płynności będzie bardziej miarodajna od określonej bez uwzględnienia wpływu czasu trwania obciążenia. Dla jeszcze wyższych temperatur sposób ten byłby niewystarczający i badacze proponują zwiększenie czasu trwania obciążenia, aż do momentu, gdy spadek granicy płynności zostaje całkowicie zahamowany. Taką granicę płynności proponują nazwać „trwałą granicą płynności“.

Istotą powyższych zmian jest zjawisko trwałego płynięcia (pełzania) metali przy obciążeniu w podwyższonej temperaturze. Dla

stali w temperaturze otoczenia występuje ono przy naprężeniu, odpowiadającym wytrzymałości na rozciąganie, ze wzrostem temperatury zachodzi przy coraz niższych wartościach naprężeń, osiągając wreszcie wartości naprężenia niższe od granicy płynności określonej w krótkotrwałych pomiarach.

Praktycznie ważnym jest, żeby wartość całkowitego trwałego odkształcenia od chwili obciążenia aż do zakończenia płynięcia, nie przekroczyła przyjętych 0,2%, t. zn. ażeby naprężenie nie przekroczyło trwałej granicy płynności.

Spowodowało to wprowadzenie nowej wartości naprężenia, t. zw. wytrzymałości trwałej, t. j. takiej granicznej wartości naprężenia, przy której po pewnym czasie ustaje zjawisko trwałego płynięcia, po przekroczeniu jednak którego zniszczenie materiału jest nieuniknione.

Ustalenie wytrzymałości trwałej, podobnie jak i trwałej granicy płynności, wymaga bardzo długich pomiarów, przedłużających się na miesiące i lata, są one żmudne i kosztowne. Bogato dotowane zagraniczne laboratoria zajmują się jednak intensywnie tem ważnym dla przemysłu zagadnieniem, nie szczędząc trudów i kosztów.

Stworzono dużo definicji przybliżeń wartości trwałej granicy płynności i trwałej wytrzymałości, aby móc uzyskać ich wyznaczenie w skróconych pomiarach — zawsze jednak ustalone w ten sposób wartości będą tylko przybliżone.

Zasadnicze znaczenie przy tych pomiarach odgrywa sama metoda badania, a na dokładność wyników mają wpływ: urządzenie do wytwarzania i pomiaru siły, do pomiaru wydłużeń, do podgrzewania i sposób pomiaru temperatury próbki, jak również samo wykonanie próby.

Powszechnie używane urządzenie do wytwarzania siły z hydraulicznym przeniesieniem nadaje się jednak raczej do pomiarów przy niezbyt długich odstępach czasu. Dla pomiarów długotrwałych nadają się lepiej urządzenia z wytwarzaniem siły zapomocą ciężarów przy zastosowaniu odpowiedniego przeniesienia.

Do pomiaru wydłużeń najlepiej nadaje się ze wszystkich urządzeń aparat lusterkowy Martensa, który daje możność odczytu wydłużenia do 0.001 mm.

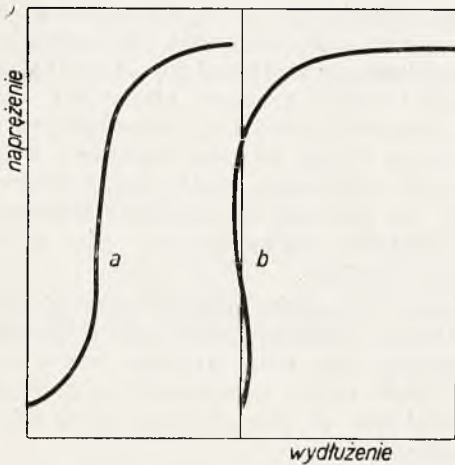
Samo wykonanie próby niezależnie od urządzenia może zdecydować o wynikach.

Zgodnie z badaniami Körbera i Pompa w praktyce M. S. D. stwierdzono, że skala bezpośrednio po osiągnięciu obciążenia jest w ruchu i jej posuwanie dopiero ustaje po ~ 5 ciu minutach. Jednak szybkość obciążenia nawet przy zastosowaniu więcej jak 5 minut trwania obciążenia ma wpływ na odczytaną wartość i nie powinna być zbyt duża, przy badaniach M. S. D. wynosiła ona 0,2 ÷ 0,5 $kg/mm^2/sek$.

¹⁾ Mitteilungen Kais. Wilh. Inst. für Eisenforschung 1930. Bd. XII, Lief. 10.

Podczas pomiaru może się zdarzyć, że wykres odkształceń ulega deformacji w sposób wskazany na rys. (2), b). Welter¹⁾ tłumaczy to zjawisko przesuwaniem się przrznatów aparatu Martensa w przeznaczonych dla nich korbach.

Zdaniem autora przyczyną tych deformacji jest brak równowagi temperatury w próbce, który powoduje odkształcenia termiczne, a te zniekształcają wykres i wyniki pomiarów. Może to mieć miejsce z powodu zbyt wczesnego rozpoczęcia samego pomiaru, lub jeżeli próbka zetknęła się z głowicą dopiero przy obciążeniu, co powoduje silny odpływ ciepła do zimnej głowicy i spadek temperatury w próbce.



Rys. 2

Ważne jest również wyeliminowanie zginania próbki przy rozciąganiu; w badaniach zastosowano podtaczanie próbek, rys. (3), po

wierzchnie walcowania. Dlatego też mierzono odkształcenia z obydwu stron próbki i obliczono średnią wartość.

Ogromnie ważne znaczenie ma zorientowanie się co do faktycznego przebiegu temperatur w badanej próbce. Różnice, jakie występują między wynikami oznaczeń poszczególnych badaczy, skłaniają do przypuszczenia, że moment dokładnego pomiaru temperatury nie został należycie w poszczególnych badaniach uwzględniony.

Stosowane są dwa rodzaje ogrzewania próbki: płynowe i powietrzne.

Ogrzewanie płynowe polega na umieszczeniu próbki w naczyniu umocowanym w dolnym uchwycie; naczynie z płynem może być ogrzewane palnikami gazowymi, albo zapomocą opornicy elektrycznej otaczającej naczynie, jak np. piecyk zastosowany przez Kais. Wilh. Inst. f. Eisenforschung, (rys. 4).

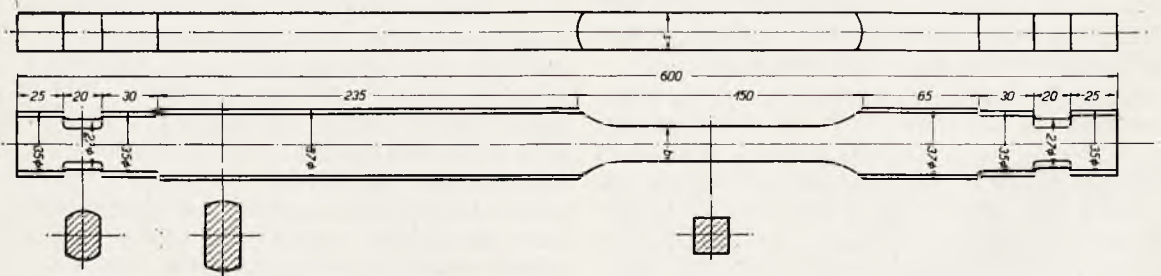
Jako płynu używa się w zakresie do 200° oleju, parafiny, powyżej — mieszaniny niektórych soli azotowych.

Panowało ogólne przekonanie, że wyrównanie temperatur w próbce ogrzewanej płynem jest tak dobre, że temperaturę płynu można uważać za identyczną z temperaturą próbki. Szereg badaczy przyjmowało to za pewnik i wogóle nie poruszało tego tematu.

Dla stwierdzenia, czy założenie to jest słuszne, czy odprowadzenie ciepła ku głowicy nie powoduje spadku temperatury w próbce, przeprowadzono w M. S. D. szereg pomiarów, których wyniki były następujące¹⁾:

Punkty pomiarowe uwidocznione na rysunku 4.

Uzyskano więc różnice temperatur, które nie mogą być pominięte, a spadek temperatury na samym dnie naczynia jest tak znacz-



Rys. 3

dokładnym wyznaczeniu ich osi i umieszczano próbkę w przegubie kulowym, jak zwyczajną próbkę okrągłą.

Jednak sposób ten nie eliminuje całkowicie wpływu zginania, jaki będzie na skutek naturalnej niedokładności w wykonaniu próbki płaskiej, która musi mieć zachowane po-

ny, że termometr grzeźnie w niecałkowicie rozтворzonej soli (wyniki pomiarów w nawiasach). Na bardzo znaczne błędy, zniekształcające pomiar, można się narazić przez mierzenie temperatury na dnie naczynia.

Bardzo dobre wyrównanie temperatur do kilku stopni różnicy uzyskuje się dopiero przy podgrzaniu naczynia palnikami gazowymi u dołu.

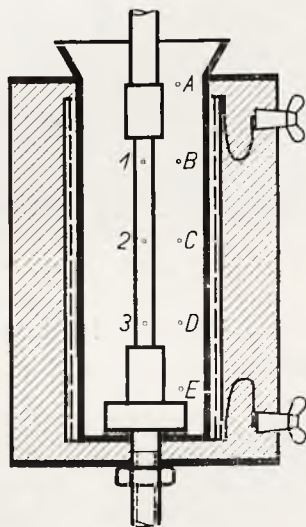
¹⁾ Welter. Elastizität und Festigkeit von Spezialstählen bei hohen Temperaturen. Forschungsarbeit, Berlin 1921. Verl. V. D. I.

¹⁾ Por. tabela str. 129.

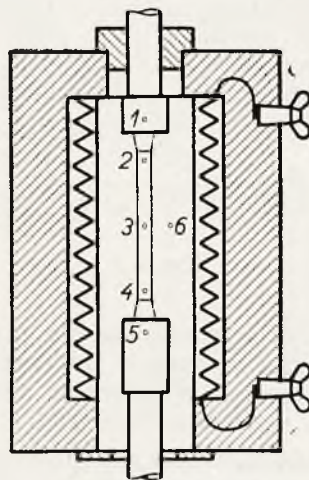
Temperatura kąpeli w °C			Temperatura próbki w °C			Różnice temperatur w °C	
t_c	t_D	t_E	t_1	t_2	t_3	$t_{sr} - t_c$	$t_{sr} - t_D$
302	225	(215)	305	305	260	- 14	+ 63
395	356	(225)	390	384	350	- 20	+ 11
520	430	(280)	520	518	480	- 14	+ 76

Nietylko badania niemieckie, ale również i publikacje badań angielskich i amerykańskich, jeżeli chodzi o opis aparatury i szczegółów badania, są bardzo skąpe w objaśnienia.

Wybrano ten sposób ogrzewania, ponieważ jest możliwe umieszczenie lusterek aparatu Martensa pod piecykiem, a więc w strefie wolnej od gorących prądów powietrznych i unika się korozji, zachodzenia lusterek mgłą, oraz innych kłopotów, jakie daje ogrze-



Rys. 4



Rys. 5

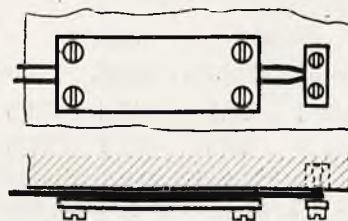
Drugi rodzaj to ogrzewanie powietrzne, próbka jest otoczona ogrzonym piecykiem, a więc bądź rurą ogrzaną elektrycznie, bądź palnikami gazowymi.

Normalny pomiar temperatury próbki jest pośredni, t. j. przez pomiar temperatury powietrza między próbką i ścianką piecyka, gdyż pomiar bezpośredni jest prawie niemożliwy ze względu na umieszczenie aparatu do pomiaru wydłużeń. Przeprowadzano pomiary porównawcze przebiegu temperatur w próbce i w piecyku.

Welter uzyskał bardzo małe różnice temperatur, natomiast różnice uzyskane przez Striebecka¹⁾ są już poważniejsze i wskazują, że największa różnica między temperaturą piecyka i próbki zachodzi przy 200° i wynosi 90°.

Mechaniczna Stacja Doświadczalna P. L. zastosowała piecyk Amslera z ogrzewaniem próbek w powietrzu (rys. 5).

wanie płynowe. Dla zbadania wpływu odprowadzania ciepła do głowic, umieszczono termoelementy w oznaczonych punktach na rys. 5, które były zmontowane na próbce w dwojaki sposób; umieszczano lekko zaizolowany azbestem termoelement wprost na próbce (rys. 6), oraz wpuszczano go do środka próbki.

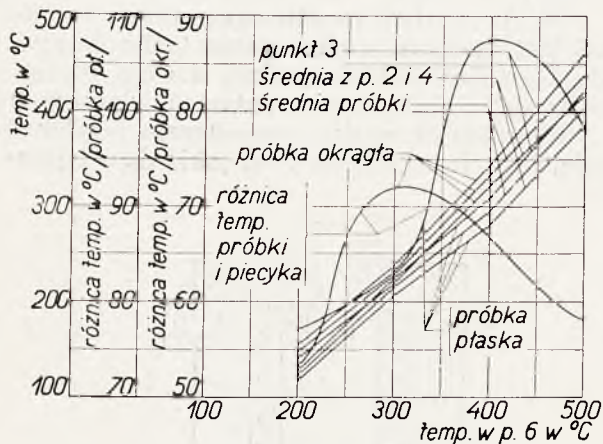


Rys. 6

Różnice odczytów obydwu sposobów były poniżej możliwych błędów pomiaru.

¹⁾ Striebeck: Der Warmzerreissversuch von langer Dauer Z. d. V. D. I. 1903. Z. 16.

Badania objęły próbkę płaską o kształcie i wymiarach jak na rys. 3, oraz próbkę okrągłą $\varnothing 10\text{ mm}$, o długości pomiarowej 100 mm . Wykres rys. 7., zestawiony z wyników pomiaru, wskazuje, że największą różnicę między temperaturą próbki i piecyka uzyskano: dla próbki okrągłej przy 300° , różnica wynosiła $\sim 75^\circ$, dla próbki płaskiej przy $400^\circ \sim 108^\circ$.



Rys. 7

Przesunięcie maximum dla próbki płaskiej w kierunku wyższych temperatur tłumaczy się większymi wymiarami próbki przy tych samych wymiarach piecyka.

Do badań nad granicą płynności wzięto 2 blachy ze spustu pieca S. M. o następującym składzie chemicznym:

blacha	C	P	S	Mn	Si
26 mm (K)	0,11	0,02	0,018	0,52	—
18 „ (D)	0,15	0,031	0,09	0,49	—

Analiza chemiczna gotowych blach potwierdziła wyniki analizy spustu. Blachy pochodzenia jednej z hut krajowych, wzięte z normalnej produkcji. Przeprowadzenie normalnej próby na rozciąganie w temperaturze otoczenia dało następujące wyniki:

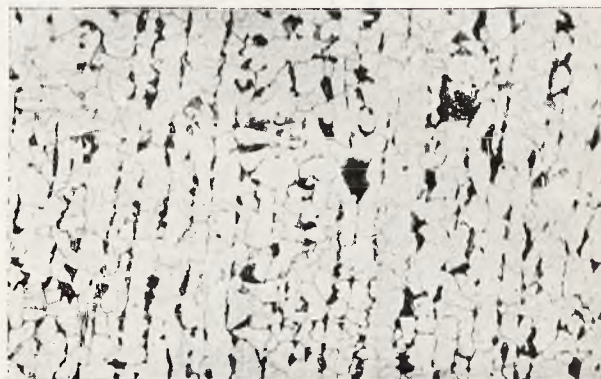
blacha	głowa		stopa		średnio
	podł.	poprz.	podł.	poprz.	
26 mm	36,2	38,1	36,6	36,8	36,9
16 „	41,8	40,3	38,7	43,2	41,0

Jak widać, średnia wytrzymałość obydwu blach odpowiada wytrzymałości obliczeniowej blach kotłowych obydwu kategorii. Kategorji trzeciej „B” ($45\text{--}55\text{ kg/mm}^2$) narazie nie badano, wobec braku jej zastosowania,

a temsamem trudności w uzyskaniu odpowiedniego materiału.

Obraz przeciętnej struktury blachy 26 mm (K) widzimy na rys. 8, blachy 18 mm (D) na rys. 9.

Próbki pobrano w sposób, wskazany na rys. 10¹⁾ z blach starannie wyżarzonych ze stopy i z głowy, podłużnie i poprzecznie,



Rys. 8

w ilości 2—3 próbek na 1 punkt (20° , 100° , 200° , 300° , 400°).



Rys. 9

Rys. 11¹⁾ przedstawia próbkę zamocowaną w maszynie ze zmontowanym na niej aparatem Martensa i nałożonym piecykiem.

Rys. 12¹⁾ podaje cztery wykresy przebiegu wydłużeń całkowitych, trwałych i elastycznych dla naprężeń do granicy płynności z pomiarów aparatem Martensa dla temperatur 20° , 200° , 300° , 400° .

(D. c. n.).

¹⁾ Rys. 10, 11 i 12 ukażą się w następnym zeszycie *Techniki Ciepłej*.

Inż. KAZIMIERZ SZAWŁOWSKI.

CIEPŁO W SILNIKACH DIESEL'A WEDŁUG OBLICZEŃ I WYKRESÓW ENTROPIJNYCH (TS).

Por. *Technika Ciepłna* str. 104, 1932 r.).

Temperatura dla początku kompresji z obliczenia $\approx 304^{\circ}$ abs.

Przyjęto dla wykresu 300° abs.

Objętość mola:

$$V_m = \frac{848\,300}{10000} = 25,44 \text{ m}^3$$

Obliczenie „b” dla adjabat:

Teoretyczna ilość powietrza potrzebna do spalenia 1 kg oleju 14,11 kg/kg.

Nadwyżka powietrza = 1,785

Praktyczna ilość powietrza $\approx 25,2$ kg/kg oleju

Spalin: $\sim 26,2$ kg.

Szczegółowo spaliny:

$$\text{CO}_2 \dots \left(\frac{32}{12} + 1\right) \cdot 0,86 \dots 3,155 \text{ kg}$$

$$\text{H}_2\text{O} \dots (8 + 1) \cdot 0,13 = 1,17$$

$$\underline{w = 0,005} \dots 1,175 \text{ „}$$

$$\text{O}_2 \dots 14,11 \cdot 0,785 \cdot 0,236 \dots 2,614 \text{ „}$$

$$\text{N}_2 \dots 25,2 \cdot 0,764 \dots \underline{19,253 \text{ „}}$$

$$\text{Razem: } 26,197 \text{ kg}$$

$$\sim 26,2$$

Układamy tabelkę:

Gaz	m	waga kg	ilość moli
CO ₂	44	3,155	0,0716
H ₂ O	18	1,175	0,0653
O ₂	32	2,614	0,0816
N ₂	28	19,253	0,688
razem . .		26,197	0,9065

$$b = \frac{0,0044 \cdot 0,0716 + 0,0029 \cdot 0,0653 + 0,001 \cdot 0,7696}{0,9065} = 0,0014$$

Pozorny ciężar drobinowy spalin:

$$m' = \frac{26,2}{0,9065} = \sim 28,9$$

Stała gazowa spalin:

$$R' = \frac{848}{28,9} = \sim 29,3$$

Spaliny w tem rozrzedzeniu gazami dwuatomowymi i stosunku pary wodnej do bezwodnika węglowego, mają stałą gazową równą stałej gazowej powietrza.

Dla początku sprężania znajdujemy punkt w wykresie (TS) odpowiadający objętości molarnej $25,44 \text{ m}^3$ i ciśnieniu 1 ata.

Adjabata dla sprężania ma współczynnik „b”:

$$b_1 = 0,93 \cdot 0,001 + 0,07 \cdot 0,0014 \approx 0,00103$$

Sprężanie według wykresu indykatora kończy się przy ciśnieniu 37,7 ata. Poszczególne punkty linii sprężania wyznaczamy ze stosunku objętości i ciśnień:

dl a p =	1 ata —	300 ^o abs.
	2 „ —	400 „
	4 „ —	480 „
	8 „ —	580 „
	10 „ —	630 „
	20 „ —	730 „
	30 „ —	760 „
	37,7 „ —	800 „

Gdyby sprężanie odbywało się według adjabaty, końcowa temperatura wynosiłaby 820°C abs.

Wykres indykatora wykazuje początkowo linię spalania przy stałej objętości oraz stałym ciśnieniu. Przebieg tych linii w wykresie (TS) znajdujemy wprost na odpowiednich logarytmikach. Dalszy przebieg linii spalania jest nieregularny: w wykresie (TS) wyznaczamy ze stosunku objętości ciśnień.

Przy 47,8 ata	1270 ^o C abs.
40	1265
30	1270
21	1360 najwyższa
10,5	1320
5	1200
3	960
1 około	623

Ostatni etap przebiegu linii w wykresie, zamykający powierzchnię, wobec otwarcia zaworu wydechowego, jest tylko przypuszczalny (w wykresie linia przerywana).

Po splanimetrowaniu i uwzględnieniu podziałki powierzchni, wartość ciepła skutecznego przebiegu:

$$Q_c = 8675 \text{ kal/mol}$$

Ciepło z wykresu indykatora

$$Q_i = 3775 \text{ kal/mol}$$

Średnie ciśnienie indykowane z tego ciepła i objętości:

$$p_i = \frac{427 \cdot 3775}{(25,44 - 1,78) \cdot 10000} \approx 6,81 \text{ kg/cm}^2$$

Dla określenia ciepła pracy teoretycznej silnika przyjęto spalanie dla stałej objętości do ciśnienia 47,8 *atm*, a następnie przy stałym ciśnieniu. Wykres teoretyczny posiada sprężanie według adjabaty $b = 0,00103$, oraz rozprężanie według adjabaty dla $b = 0,0014$.

Gdybyśmy chcieli ładunek spalać tylko przy stałej objętości, otrzymalibyśmy wysokie ciśnienie w cylindrze dochodzące do 95 *atm*, co oczywiście jest niedopuszczalne.

Przebieg poszczególnych linii wykresu teoretycznego wyznaczamy metodą prof. Stodoli. Krzywe ciepła obliczamy według wzoru:

$$U = 4,67 \cdot T + \frac{b}{2} \cdot T^2 \text{ kal/mol}$$

Poszczególne wartości krzywych ciepła w *kal/mol* zestawione są w tabelce:

T	b = 0,001	0,0014	0,002
300	1446	1464	1491
600	2982	3054	3162
900	4608	4770	5013
1200	6324	6612	7044
1500	8130	8580	9255
1800	10008	10674	11646
2100	12012	12894	14217
2400	14088	15240	16968

Podziałkę dla ciepła przyjęto:

$$1000 \text{ kal/mol} = 10 \text{ mm.}$$

Z wartości opałowej oleju gazowego 10000 *kal/kg* przeliczamy wartość opałową na mol:

$$W = \frac{10000}{1,07 \cdot 0,9065} = \sim 10300 \text{ kal/mol}$$

przyczem uwzględniamy 7% pozostałości w przestrzeni kompresyjnej cylindra i komory wstępnej.

Różnica ciepła:

$$10300 - 8675 = 1625 \text{ kal/mol}$$

wynika wskutek chłodzenia podczas spalania.

Ciepło przebiegu teoretycznego możemy znaleźć wprost z krzywej ciepła dla $V = Cst$ i $p = Cst$:

$$\begin{aligned} \text{ciepło skuteczne} &= 8675 \text{ kal/mol} \\ \text{strata} &= 3900 \text{ „} \\ \text{różnica} &= 4775 \text{ „} \end{aligned}$$

odpowiada ciepłu przebiegu teoretycznego.

Sprawność teoretyczna:

$$\eta_i = \frac{4775}{10300} = \sim 0,463$$

Sprawność indykowana:

$$\eta_{it} = \frac{3775}{4775} = \sim 0,79$$

Sprawność całkowita cieplna:

$$\eta_c = \eta_i \cdot \eta_{it} \cdot \eta_{im} = 0,463 \cdot 0,79 \cdot 0,82 = \sim 0,3$$

Zużycie paliwa na *KMe/godz.*:

$$b_e = \frac{632}{0,3 \cdot 10000} = 0,2106 \text{ kg/KMe/g} \sim 210,6 \text{ gr/KMe/g}$$

Stosunkowo duże zużycie paliwa wywołane jest niską sprawnością indykowaną i teoretyczną, wskutek przewlekłego spalania. (Wykres indykatora odpowiada silnikowi niedostatecznie uregulowanemu). Dla dobrych warunków pracy silnika sprawność indykowana $\eta_i \sim 0,9$ oraz teoretyczna $\eta_{it} \sim 0,5$ i wówczas przy niezmienionem η_{im} sprawność cieplna wynosiłaby:

$$\eta_c = 0,9 \cdot 0,5 \cdot 0,82 \approx 0,369$$

a zużycie paliwa:

$$b_e = \frac{632}{0,369 \cdot 10000} \approx 0,171 \text{ kg/KMe/godz.}$$

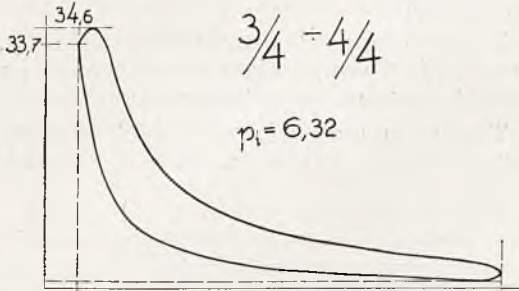
Z wykresu (*TS*) możemy w każdym punkcie przebiegu linii stwierdzić, ile ciepła dochodzi, względnie jakie są straty. N. p. dla linii sprężania początkowo gorące ścianki cylindra grzeją medium i przybywa ciepła około 155 *kal/mol*. Następnie linia sprężania przechodzi przez punkt adjabatyczny (około 470° *abs*) i zaczynamy ciepło tracić wskutek chłodzenia cylindra i głowicy. Strata ciepła wynosi 515 *kal/mol*. Ogólna strata ciepła w czasie sprężania = 360 *kal/mol*. Punkt adjabatyczny oznacza poniekąd średnią temperaturę ścianek cylindra.

W ten sposób możemy analizować przebieg każdej linii.

Podana w wykresie (*TS*) wartość ciepła odnosi się do pracy dodatkowej silnika. Praca ujemna ssania i wydechu w danym wypadku

jest mała i może być pominięta. Gdyby jednakowoż zachodziła potrzeba uwzględnienia tej pracy, należałoby odjąć jej równowartość cieplną od ciepła przebiegu dodatniego.

2. Dla $\frac{3}{4} \div \frac{1}{4}$ obciążenia, sprężarkowego silnika Diesela, wykonać wykres ciepła (TS) na podstawie wykresu indykatora rys. 4



Rys. 4

oraz danych:

Paliwo: olej gazowy

Wartość opałowa dolna: 9850 kal/kg.

Analiza elementarna oleju:

C = 84% wag.

H = 13% „

O = 0,5 „

N = 0,5 „

w = 2,0 „

CO₂ max = 15,36

Analiza spalin wydechowych:

CO₂ = 9,2% objętościowo

O₂ = 8,2% „

N₂ = 82,6% „

CO = 0% „

Wydech czysty:

Nadwyżka powietrza 1,6

Teoretyczna ilość powietrza 13,875 kg/kg

oleju.

Praktyczna ilość powietrza 22,2 kg/kg.

Ilość spalin 23,2 kg/kg oleju

Szczegółowo spalin:

$$CO_2 \dots \left(\frac{32}{12} + 1 \right) \cdot 0,84 = 3,08 \text{ kg}$$

$$H_2O \dots 9 \cdot 0,13 + 0,02 = 1,19 \text{ „}$$

$$O_2 \dots 13,875 \cdot 0,6 \cdot 0,236 = 1,964 \text{ „}$$

$$N_2 \dots 22,2 \cdot 0,764 + 0,005 = 16,965 \text{ „}$$

$$\text{Razem: } \underline{23,199 \text{ kg/kg}}$$

$$\sim 23,2$$

T a b e l k a

Gaz	m	waga kg.	ilość moli
CO ₂	44	3,08	0,07
H ₂ O	18	1,19	0,0662
O ₂	32	1,964	0,0614
N ₂	28	16,965	0,606
Razem:		23,199	0,8036

$$b = \frac{0,0011672}{0,8036} \approx 0,00145$$

Pozorny ciężar drobinowy spalin:

$$m' = 28,88$$

Stała gazowa spalin: R' = \approx 29,3

Temperatura dla początku sprężania:

$$T = 325^\circ C \text{ abs.}$$

Ciśnienie z wykresu indykatora zdjętego słabą sprężyną dla początku sprężania:

$$p = 0,97 \text{ ata}$$

Objętość mola: V = 28,4 m³/mol.

Z wykresu indykatora p_c = 33,7 ata

$$p \text{ max} = 34,6 \text{ ata}$$

Zmierzona przestrzeń kompresyjna przez napełnienie oliwą V_c = 6,9% V

Dla adjabaty sprężania b = 0,00103

Ciepło z wykresu indykatora = 4010 kal/mol¹⁾

Ciepło skuteczne przebiegu = 8930 kal/mol

Ciepło teoretycznego wykresu:

$$8930 - 4370 = 4560 \text{ kal/mol}$$

Z wartości opałowej oleju 9850 kal/kg obliczamy wartość opałową na mol, przyczem uwzględniamy 10% pozostałości spalin w przestrzeni kompresyjnej:

$$W = \frac{9850}{0,884} = \sim 11150 \text{ kal/mol}$$

Wartość opałowa zmniejszona wskutek chłodzenia:

$$11150 - 8930 = 2220 \text{ kal/mol (około 20\%)}$$

Średnie ciśnienie indykowane:

$$p_i = \frac{4010 \cdot 427}{10000 \cdot (28,4 - 1,96)} = 6,47 \text{ kg/m}^2$$

¹⁾ Por. rys. 5 str. 133.

Ponieważ średnie ciśnienie indykowane netto = $6,30 \text{ kg/cm}^2$, wynikająca z tej przy- czyny różnica $6,47 - 6,30 = 0,17 \text{ kg/cm}^2$, przypada na pracę ujemną ssania i wydechu. (Praca ta w wykresie (TS) nie jest wykazana).

Wskutek tej pracy zmniejszona wartość ciepła w przybliżeniu:

$$Q_i = 3900 \text{ kal/mol}$$

Sprawność teoretyczna:

$$\eta_{it} = \frac{4560}{11150} \approx 0,41$$

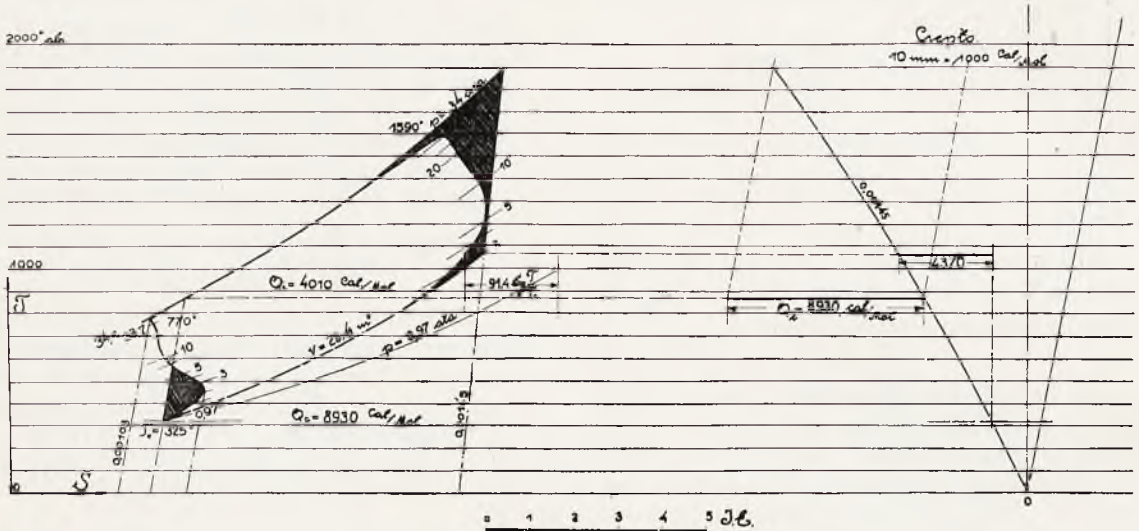
Ciężar ten odpowiada zużyciu $1,58 \text{ kg}$ powietrza wstrzykowego na kg rozpylonego paliwa.

(Wykresy indykatora i TS dotyczą szybkoobrotowego, sześciocylindrowego silnika Diesla o wymiarach cylindra:

$D = 400 \text{ mm}$, $s = 400 \text{ mm}$, $n = 330 \text{ obr}$ na min . Korbówód wodzikowy, — tłok chłodzony oliwą).

Z przytoczonych przykładów widzimy, iż wykresy (TS) pozwalają wnioskować o prze- wlekłości spalania w cylindrze silnika.

Trzeba nadmienić, że z tych wykresów możemy wysnuć znacznie więcej wniosków



Rys. 5

Sprawność indykowana:

$$\eta_i = \frac{3900}{4560} \approx 0,86$$

Sprawność mechaniczna z pomiaru: 0,8

Sprawność całkowita (termiczna)

$$\eta_c = 0,41 \cdot 0,86 \cdot 0,8 = 0,28$$

Zużycie paliwa:

$$b_e = \frac{632}{0,28 \cdot 9850} = 0,228 \text{ kg/KMe godz.}$$

Dla przeniesienia linii spalania w wy- kresie (TS) uwzględniono poprawkę wywoła- ną zwiększeniem ładunku cylindra powietrzem wstrzykowym. Przebieg wtrysku przyjęto w przybliżeniu jako sinusoidalny; — ilość po- wietrza dla ciśnienia wstrzykowego 70 atm około $28,0 \text{ m}^3/\text{godz}$.

Ciężar powietrza wstrzykowego, dla 0°C , 760 mm Hg , obliczamy z wzoru:

$$G = \frac{m}{22,41} \cdot V = \frac{28,8 \cdot 28}{22,41} = \sim 36 \text{ kg/godz.}$$

co do ogólnych warunków przebiegów ciep- lnych. Oczywiście ciepła w wykresach nie ma- ją absolutnych wartości, lecz wykazane są jako różnice ciepła doprowadzonego i straco- nego wskutek chłodzenia i t. p.

Dla uzyskania absolutnych wartości ciepła trzeba by znać prócz temperatury gazu również temperaturę ścianek cylindra, choćby pośred- nio z danych pomiarowych wody chłodzącej.

Ogólny wzór dla obliczenia strat ciepła wskutek chłodzenia cylindra

$$Q_s = \alpha F \cdot \Delta T \text{ kal/godz.}$$

wymaga znajomości powierzchni ochładzającej w m^2 , skutecznej różnicy temperatur odpowia- jącej tej powierzchni oraz współczynnika prze- wodnictwa $\alpha \frac{\text{kal}}{\text{m}^2 \text{ godz.}^\circ}$, który obliczamy we- dług Nusselt'a:

$$\alpha = 0,365 \frac{\left(\frac{T}{100}\right)^4 - \left(\frac{T_w}{100}\right)^4}{T - T_w} +$$

$+ 0,99 \sqrt[3]{p^2 \cdot T} \cdot (1 + 1,24 w)$
przyczem oznaczają:

T — temperaturę gazu $^{\circ}abs$

T_w — średnią temperaturę ścianek cylindra $^{\circ}abs$

p — ciśnienie gazu w ata

w — średnią szybkość tłokową w m/sek

Dla okresu spalania wyznaczenie współczynnika α jest trudne, gdyż nie można oddzielić przewodzenia ciepła od przewlekłości spalania wtrysniętej dawki. Obydwa zjawiska występują razem.

Dokładne określenie przebiegu temperatur możliwe jest jedynie z obliczeń pomiarów, polegających na analizie spalin branych z różnych objętości cylindra, który to sposób podano na początku niniejszego referatu. W obecnych czasach możemy w tym celu korzystać z czułych termoelementów w połączeniu z wzmacniaczami radjowymi oraz elektromagnetycznymi oscylogramami. Przyrządy te są jednak skomplikowane w użyciu i narazie mają charakter laboratoryjny.

Przez wprowadzenie wykresów TS , prof. Stodola dał inżynierowi w praktyce znakomity sposób prostego zobrazowania ciepła w silniku spalinowym. Wykresy TS dają wyniki z dokładnością 3—5%. Dla ułatwienia kreślenia siatek logarytmicznych, które wymagają dużo czasu, najlepiej wykonać krzywkę dla $p = Cst$ i $v = Cst$, według załączonej tabeli 1a. Przez przesuwanie takich krzywek stosownie do skali podanej w tabeli 1b, możemy prędko wyszukiwać poszczególne punkty na temperaturach dla wykresu ciepła.

Opis szerszego wyzyskania wykresów entropijnych dla badań cieplnych silnika Diesela wypadła poza ramy niniejszej pracy i wobec tego czytelnika skierowuję do pracy specjalnej L. Zwerger'a „Das Wärmediagramm als Grundlage für die Untersuchung einer Oelmaschine”. — „Forschung Ing. Wes. V. D. I.” zeszyt 216¹⁾.

1) W ubiegłym roku ukazały się w Niemczech dwie prace dotyczące obliczeń cieplnych silników spalinowych, a mianowicie: dr. Ing. O. Lutz'a z Stuttgartu „p. V. Tafel, Tabellen und Diagramme zur thermischen Berechnung der Verbrennungskraftmaschinen” oraz praca habilitacyjna dr. Ing. W. Pflaum'a „J. S. — Diagramme für Verbrennungsgase und ihre Anwendung auf die Verbrennungsmaschine”.

Dr. Lutz przedstawia ciepło wprost w wykresach p. V. z przebiegu izoterm, adjabat oraz krzywych ciepła według prof. Stodoli przy czym uwzględnia poprawki wynikające ze zmiany ciepła właściwego, ciężarów drobinowych podczas spalania i ładunku cylindra.

Jakkolwiek dociekania teoretyczne dr. Lutz'a są ścisłe, jednak dla inżyniera — praktyka mało przejrzyste a rysunkowo mogące powodować duże niedokładności.

Praca dr. Pflaum'a uwzględnia dysocjację gazów trzyatomowych w spalinach. Jak już zaznaczono, dysocjacja tych gazów w obrębie temperatur do 2000 $^{\circ} abs$, rozcieńczonych nadwyżką powietrza i pozostających pod ciśnieniem, jest znikoma.

Obydwa autorzy stosują dla swych wykresów nowe wartości ciepła właściwego według badań optycznych Nernsta i Wohl'a, obliczone na podstawie teorii kwantów, a zwłaszcza funkcji Einstein'a.

Nowe wartości ciepła właściwego w granicach do 2000 $^{\circ} abs$, nieznacznie różnią się z wartościami podanymi dawniej przez Schüle'go i innych, co ponieważ usprawiedliwia stosowalność dla wykresów (TS) ciepła właściwego spalin według prof. Stodoli.

Inż. Z. Klębowski.

CIENKOŚCIENNE NACZYNIĘ KSZTAŁTU POWIERZCHNI OBROTOWEJ O RAPTOWNIIE ZMIENIAJĄCYM SIĘ PROMIENIU KRZYWIZNY TWORZĄCEJ.

Równość:

$$\frac{\sigma_1}{r_1} + \frac{\sigma_2}{r_2} = \frac{p}{g} \quad \dots \quad (1)$$

ważna jest dla każdego punktu cienkościennego naczynia, w którym wyrażone w cm : r_2 i r_1 — promień krzywizny przekroju — południkowego i prostopadłego doń, zmieniają się w sposób ciągły, a sąsiednie usztywnienia nie mają wpływu na rozkład napięć w tych miejscach. W równości (1) g — oznacza grubość ścianki naczynia w cm a p nadciśnienie w kg/cm panujące wewnątrz naczynia.

Łatwo ustalić, że r_1 zawsze jest dodatnie, natomiast r_2 jest dodatnie lub ujemne stosow-

nie do tego, czy tworząca zwraca się wklęsłą stroną ku osi obrotu, czy też stroną wypukłą.

Dla naprężeń σ_1 i σ_2 w kg/cm^2 (obwodowe i południkowe) mamy następujące wyrażenia:

$$\sigma_1 = \frac{p r_1}{2 g} \left(2 - \frac{r_1}{r_2} \right), \quad \sigma_2 = \frac{p r_1}{2 g} \quad \dots \quad (2)$$

W miejscach, w których zachodzi zaburzenie ciągłości krzywizny tworzącej, charak-

teryzowane wielkością $\left(\frac{1}{r_2} - \frac{1}{r_1^2} \right)$, gdzie r_2 i r_1^2

oznacza w *cm* promienie krzywizny tworzącej po obydwu stronach rozpatrywanego punktu przelomowego, zachodzą dodatkowe naprężenia obwodowe $\Delta\sigma_1$ i południkowe $\Delta\sigma_2$. Te ostatnie pochodzą od zginania.

Wartości tych naprężeń oceniają przy naszych oznaczeniach promieni r_1 i r_2 następujące równości:

$$\Delta\sigma_1 = 0,5 \frac{p r_1}{2g} \left(\frac{r_1}{r_2} - \frac{r_1}{r_2^1} \right) \quad \text{i}$$

$$\Delta\sigma_2 = 0,293 \frac{p r_1}{2p} \left(\frac{r_1}{r_2} - \frac{r_1}{r_2^1} \right) \quad (3)^1$$

Przyjmujemy dla uproszczenia zamiast 0,293 w drugim równaniu (3) współczynnik równy 0,3.

Pod r_1 , r_2 i r_2^1 rozumiemy wartości algebraiczne, mogące — zgodnie z wyżej omówionem — przyjmować ogólnie wartości dodatnie, lub ujemne (r_1 z natury swej roli jest zawsze wielkością dodatnią).

Wyprowadzimy równości, dające warunki wytrzymałościowe według hipotezy energii odkształcenia postaciowego dla dwuwymiarowego stanu napięcia, określonego następującymi naprężeniami głównymi S_1 i S_2

$$S_1 = \sigma_1 + \Delta\sigma_1 = \frac{p r_1}{2g} \left(2 - 0,5 \frac{r_1}{r_2} - 0,5 \frac{r_1}{r_2^1} \right)$$

$$S_2 = \sigma_2 + \Delta\sigma_2 = \left\{ \begin{array}{l} \frac{p r_1}{2g} \left(1 + 0,3 \frac{r_1}{r_2} - 0,3 \frac{r_1}{r_2^1} \right) \\ \frac{p r_1}{2g} \left(1 - 0,3 \frac{r_1}{r_2} + 0,3 \frac{r_1}{r_2^1} \right) \end{array} \right. \quad (4)$$

Wspomniany wyżej warunek wytrzymałościowy

$$\sigma_{(red)}^2 = S_1^2 + S_2^2 - S_1 S_2 \leq k^2 \quad (5)$$

wyrazi się po uproszczeniu wzorami:

$$\sigma_{(red)} = \frac{p r_1}{2g} \cdot \sqrt{A^2 + B^2 - A B} \leq k$$

lub

$$\sigma_{(red)} = \frac{p r_1}{2g} \cdot \sqrt{A^2 + C^2 - A C} \leq k \quad (6)$$

$$w \text{ których } \left. \begin{array}{l} A = 2 - 0,5 \frac{r_1}{r_2} - 0,5 \frac{r_1}{r_2^1} \\ B = 1 + 0,3 \frac{r_1}{r_2} - 0,3 \frac{r_1}{r_2^1} \\ C = 1 - 0,3 \frac{r_1}{r_2} + 0,3 \frac{r_1}{r_2^1} \end{array} \right\} \quad (6a)$$

O ile niema raptownej zmiany krzywizny, to jest o ile $r_2 = r_2^1$, otrzymujemy dla obydwu równości (6) identyczne wyrażenia w postaci

$$\sqrt{\left(\frac{p r_1}{2g} \right)^2 \cdot \left[\left(\frac{r_1}{r_2} \right)^2 - 3 \frac{r_1}{r_2} + 3 \right]} \leq k \quad (7)^1$$

podanej już przez autora referatu dawniej.

Jeżeli skokowi zmiany promienia krzywizny południka z r_2 na r_2^1 towarzyszy zarazem skok zmiany grubości ściany z g na g^1 , to wynikające stąd dodatkowe naprężenie obwodowe przyjmuje wartość:

$$\Delta\sigma_1 = 0,5 p r_1 \left(\frac{1}{g_1} - \frac{1}{g} + \frac{r_1}{2g r_2} - \frac{r_1}{2g^1 r_2^1} \right) \quad (8)$$

Równość tę w przypuszczeniu, iż g mało różni się od g^1 , otrzymamy biorąc w przybliżeniu średnią arytmetyczną $\bar{\sigma}_1$ z dwóch wartości dla σ_1 (wzór 2) otrzymanych raz dla grubości g drugi raz dla grubości g^1 i odejmując $\bar{\sigma}_1$ od wyrażenia dla σ_1 większego. Wartość $\Delta\sigma_1$ należy dodać do wartości σ_1 (mniejszej) obliczonej z równania (2).

Dodatkowe naprężenie południkowe $\Delta\sigma_2$ wskutek zginania określa w przybliżeniu wzór:

$$\Delta\sigma_2 = 0,293 \frac{p r_1^2}{2g} \left(\frac{1}{r_2} - \frac{1}{r_2^1} \right) \text{ po stronie grubości } g$$

$$\Delta^1\sigma_2 = 0,293 \frac{p r_1^2}{2g^1} \left(\frac{1}{r_2} - \frac{1}{r_2^1} \right) \text{ po stronie grubości } g^1 \quad (8a)$$

W dodatkowym naprężeniu $\Delta\sigma_2$ wywołanym zginaniem, należałoby uwzględnić współczynnik, zależny od stosunku, lub różnicy grubości g i g^1 , a którego wartość przyjęto tutaj za stałą = 0,293. To też oznaczając przez g i r wartości, dla których $\sigma_1^1 > \sigma_1$ i przyjmując 0,293 = ~ 0,3, otrzymujemy dwa wzory (4a)

$$S_1 = \sigma_1 + \Delta\sigma_1 = \frac{p r_1}{2} \left[\frac{1}{g^1} + \frac{1}{g} - \frac{r_1}{2} \left(\frac{1}{g r_2} + \frac{1}{g^1 r_2^1} \right) \right]$$

$$S_2 = \sigma_2^1 + \Delta^1\sigma_2 = \frac{p r_1}{2} \left[\frac{1}{g^1} + 0,3 \frac{r_1}{g^1} \left(\frac{1}{r_2} - \frac{1}{r_2^1} \right) \right] \quad (4a)^2$$

Wzory (4a) mają charakter przybliżonej oceny. Będzie ona tem dokładniejsza, im mniejsza jest różnica grubości. Omawiany współczynnik, jak można zauważyć, porównyując wzory 3 i 9a, waha się pomiędzy 0,293 i 0,412 a w praktyce będzie zawsze bliższy dolnej

¹⁾ Technik, Podręcznik dla inżynierów. Wydanie drugie, tom 1, str. 614.

²⁾ Wzory (4a) wynikają z rozważań podanych przez p. prof. M. T. Hubera.

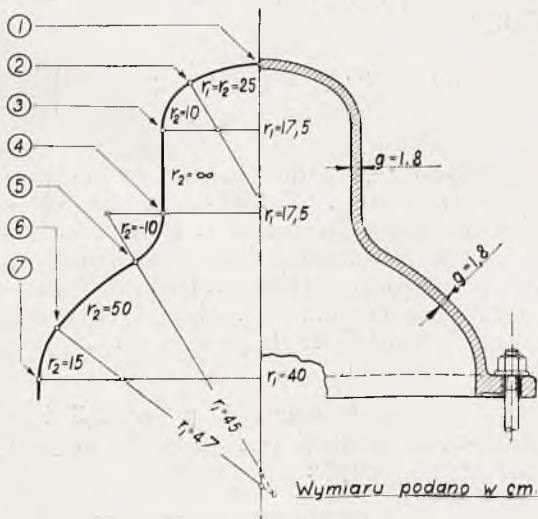
¹⁾ J. Geckeler. Über die Festigkeit Achsensymmetrischer Schalen. Berlin 1926, str. 43, wzór 33. (Forschungsarbeiten... Heft 275. V. D. I.).

granicy, tak iż przyjmując 0,3 nie popełniamy dużego błędu zależnego od wartości tego współczynnika.

Wzory (6) przeznaczone są dla metali plastycznych: stali walcowanej, stali lanej, miedzi walcowanej, odlewów miedzianych i td. Dla żeliwa naogół wzory te, jako wyprowadzone na zasadzie hipotezy energii odkształcenia postaciowego nie stosują się. Dla żeliwa należałoby zastosować hipotezę dr. W. Burzyńskiego. Pozostawiając odnośne rozważania na później, tymczasem ograniczymy się do uwagi, iż przyjmując dla żeliwa, jako doraźną wytrzymałość $K_r = 1250 \text{ kg/cm}^2$ (na rozciąganie) $K_c = 7500 \text{ kg/cm}^2$ (na ściskanie) $K_s = 1500 \text{ kg/cm}^2$ (na skręcanie lub ścinanie) otrzymujemy przy czterokrotnej pewności dla przypadku powłoki kulistej $\sigma_{(red)} = 203 \text{ kg/cm}^2$ dla przypadku zaś powłoki walcowej (z dnami) $\sigma_{(red)} = 275 \text{ kg/cm}^2$. To też przypuszczając, iż dwa wymienione stany napięcia są dla rozpatrywanego przez nas ogólnego przypadku granicznymi pod względem niebezpieczeństwa i przyjmując dopuszczalne $k = 200$, możemy stosować w przybliżeniu równości (6) również i dla żeliwa.

Przykład

Naczynie rys. 1 wykonane 1) ze stali lanej $k = 900$, 2) z żeliwa $k = 200$.



Rys. 1

Przy jakim ciśnieniu może naczynie pracować w obydwu przypadkach użytego materiału? Odpowiednie promienie, oraz inne dane podano w tabl. 2, w której przy wartościach dla k zaniechano pisanie podwójnych znaków \pm . Wskazuje ona, iż punkt 5 jest najniebezpieczniejszy.

Dla punktu (5) mamy:

$44,75 \cdot p = k$ (wewnętrzne włókno, czyli zewnętrznie naczyńia)

Tabl. fig. 2

Punkt	r_1		r_2		r_3	r_4	r_5	r_6	r_7	$\frac{p \cdot r_1}{2g}$	$\frac{r_1}{r_2}$	$\frac{r_1}{r_2}$	$\frac{r_1}{r_2}$	$\frac{r_1}{r_2}$	$\frac{r_1}{r_2}$	$\frac{r_1}{r_2}$	$\frac{r_1}{r_2}$	$\frac{r_1}{r_2}$	$\frac{r_1}{r_2}$	$\frac{r_1}{r_2}$	$\frac{r_1}{r_2}$	$\frac{r_1}{r_2}$	Wyniki obliczenia			
	cm	cm	cm	cm																			$\frac{r_1}{r_2}$	$\frac{r_1}{r_2}$	$\frac{r_1}{r_2}$	$\frac{r_1}{r_2}$
1	25	25	25	25	25	25	25	25	25	6,95p	1	1	1	1	1	1	1	1	1	1	1	1	1	1	6,95	-6,95
2	25	25	25	10	25	25	25	25	25	6,95p	1	2,3	0,75	0,36225	0,1375	1,715	4,385	1,882	0,01258	0,0614	0,36225	0,5345	1,365	5,95	3,32	9,325
3	17,5	10	∞	∞	25	25	25	25	25	4,86p	1,75	0	0,525	1,125	1,525	0,475	0,495	0,087	0,342	0,282	0,282	0,475	1,405	14,44	7,15	4,75
4	17,5	∞	-10	∞	25	25	25	25	25	4,86p	0	-1,75	0	2,875	1,525	0,475	0,495	0,087	0,342	0,282	0,282	0,475	1,405	14,44	12,1	12,95
5	45	-10	50	50	25	25	25	25	25	12,5p	4,5	0,9	-0,135	2,875	1,525	0,475	0,495	0,087	0,342	0,282	0,282	0,475	1,405	14,44	44,75	41,6
6	47	50	15	15	25	25	25	25	25	19,05p	0,94	3,133	0,47	1,567	0,282	0,94	1,567	0,282	0,94	1,567	0,282	0,94	1,567	4,725	21,9	
7	40	15	∞	∞	25	25	25	25	25	11,11p	0	2,666	1,333	0,667	1,8	0,2	0,445	3,211	0,04	0,1334	1,577	17,5	(21,5 ¹)	17,5	6,6	

1) i 2) Z wzoru (11).

41,6 . $p = k$ (zewnątrzne włókno, czyli wewnątrz naczyń).

Pierwsza z tych równości miarodajna do obliczenia daje nam:

44,75 . $p = k$ dla stali lanej $k = 900$;

$$p = \frac{900}{44,75} = 20,1 = \sim 20 \text{ atn}$$

dla żeliwa $k = 200$;

$$p = \frac{200}{44,75} = 4,47 = \sim 4,5 \text{ atn.}$$

U w a g i: 1) Odnośnie do punktu (7) zauważyć należy, iż użyty przez nas sposób obliczenia byłby i dla tego miejsca zupełnie prawidłowy, gdyby naczynie przechodziło w cylindryczne tej samej grubości 1,8 cm, a nie w sztywny kołnierz.

W omawianym przykładzie wobec trudności określenia naprężeń zginających w punkcie (7), należało zamiast promienia $r_1 = 15 \text{ cm}$ zastosować $r_1 = 0,28575 D = 0,28575 \cdot 80 = \sim 22,85 \text{ cm}^1$.

2) Analogicznie rozumując do podanych rozważań w cytowanej już pracy J. Geckeler'a na str. 43 (oraz na str. 14 porównać 3 i 9 wzory od góry) odnośnie dodatkowych naprężeń głównych, wywołanych raptowną zmianą promienia krzywizny tworzącej, spróbujemy zdać sobie sprawę z dodatkowych naprężeń głównych w punkcie (7) (rys. 1) wywołanych obecnością sztywnego (nieodkształcającego się) kołnierza w tem miejscu.

W punkcie (7) naprężenie obwodowe, ma-

jąca wartość $\sigma_1 = \frac{pr_1}{2g} \left(2 - \frac{r_1}{r_2} \right)$ w pewnej od-

ległości od tego punktu, doznaje raptownego

skoku, otrzymując (przy $\sigma_2 = \frac{pr_1}{2g}$) wartość

$$\sigma_1^1 = \mu \sigma_2 = \mu \frac{pr_1}{2g} \text{ (warunek nieodkształcal-}$$

ności przekroju przechodzącego przez punkty powłoki, leżące na sztywnym kołnierzu).

Uwzględniając odkształcalność kołnierza, w szczególności wydłużenie jego obwodu w stosunku ϵ_1 , zamiast $\sigma_1^1 = \mu \sigma_2$ znaleźlibyśmy

$$\sigma_1^1 = \mu \sigma_2 + \epsilon_1 E \dots (9)$$

a więc wartość większą.

Jak wynika z porównania wspomnianych wyżej wzorów, podanych na str. 14 w cytowanej książce Geckeler'a, dodatek $\Delta \sigma_2$ do σ_2 z powodu nieuniknionego zginania w przekroju połunikowym jest $\sqrt{2}$ razy większy z powodu zupełnego utwierdzenia, od dodatku obliczanego drugim wzorem (3) uwarunkowanego zwykłym skokiem krzywizny południka (tworzącej). Wartość tego dodatku, będzie więc z wzoru (3) przy $r_2^1 = \infty$, o ile przyjąć $\sqrt{2} 0,293 = 0,412 = \sim 0,4$.

$$\Delta \sigma_2 = 0,4 \frac{pr_1^2}{2g r_2} \dots (9a)$$

Ostatecznie w punkcie (7) na rys. 1 stan napięcia wyrazi się w sposób następujący:

Naprężenie obwodowe

$$S_1 = \mu \sigma_2 = \mu \frac{pr_1}{2g} \dots (10)$$

Naprężenie południkowe (na powierzchni ściany)

$$S_2 = \frac{pr_1}{2g} + 0,4 \frac{pr_1}{2g} \cdot \frac{r_1}{r_2} = \frac{pr_1}{2g} \left(1 \pm 0,4 \frac{r_1}{r_2} \right) \dots (10a)$$

Tutaj znak \pm odpowiada wewnętrznej powierzchni ściany. Zaniedbanie we wzorze (9) wyrazu $\epsilon_1 E$ — trudnego do obliczenia z zadawalającym przybliżeniem jest niewątpliwie skompensowane niekorzystnym w tym przypadku założeniem zupełnego utwierdzenia brzegu powłoki, czyli punktów ściany naczyńia w kołnierzu.

Przyjmując wartość $\mu = 0,3$ i stosując hipotezę energii postaciowej, otrzymujemy wzór obliczeniowy:

$$0,4 \frac{pr_1}{2g} \sqrt{\left(\frac{r_1}{r_2} \right)^2 \pm 4,25 \frac{r_1}{r_2} + 5} \leq k \text{ (11)}^1$$

Niektóre wartości liczbowe zostały przytem zaokrąglone z błędem ogólnym mniejszym od 1%.

Równość (10) dla punktu (7) rys. 1 daje $k = 21,5 \times p$. Liczbę 21,5 podano w tabl. 2

¹⁾ Artykuł autora: „Dno wypukłe usztywnione w części cylindrycznej“ *Technika Ciepła* Nr. 4 1933 r., str. 52

¹⁾ Wzór ten został wyprowadzony przez p. prof. M. T. Hubera.

w odpowiedniej rubryce w nawiasach, jakoteż liczbę 0,39 otrzymaną z tego wzoru, o ile wziąć po uwagę znak (—) przy wyrazie

$$4,25 \frac{r_1}{r_2}.$$

3) Ze względu na falisty charakter naprężeń zginających w pobliżu punktów przejściowych i bacząc na to, iż σ_1 (powłokowe) jest zawsze dodatnie, należy zawsze brać największą wartość otrzymaną z obydwu równości (6) i (11). Dotyczy to również żeliwa (aczkolwiek materiał ten jest bardzo wytrzymały na ściskanie); nie trzeba się przytem troszczyć o to której powierzchni (zewnątrznej, lub wewnętrznej) dotyczy miarodajny do ob-

liczenia wysiłku punkt i jak się kombinują obydwie naprężenia ($\sigma_1 + \sigma_1^1$) czy ($\sigma_1 - \sigma_1^1$) gdyż wobec falistego charakteru naprężenia σ_1^1 , o ile istnieje $S_1 = \sigma_1 - \sigma_1^1$ to może istnieć również $S_1 = \sigma_1 + \sigma_1^1$.

4) Jeżeli przyjmiemy

$$r_2 = 0,28575 \cdot D = 0,5715 \cdot r_1$$

(jak się proponuje w referacie: „Dno wypukłe usztywnione w części cylindrycznej“), to otrzymujemy

$\sim \frac{Pr_1}{2g} \leq k$ jak we wspomnianym referacie.

Przegląd wydawnictw

ELEKTRYK, podręcznik kieszonkowy elektrotechniki prądów silnych, opracowany pod redakcją prof. M. Pożaryskiego. Nakład księgarni J. Lisowskiej, Warszawa, 1933. Format 12 × 17 cm. str. 520, rys. 212, tabl. 112. Cena 14 zł.

Polskie piśmiennictwo elektrotechniczne zostało w ostatnich dniach wzbogacone ukazaniem się na rynku księgarskim nowego podręcznika z dziedziny elektrotechniki, wydawnictwa istotnie wartościowego, które w postaci kalendarza technicznego, zawierającego zestawienie teorii, wzorów, tablic i szeregu wskazówek praktycznych, dotyczących urządzeń elektrycznych prądu silnego, zapełni jedną z wielu luk w naszej skromnej literaturze elektrotechnicznej.

Treść książki została ujęta w 12 działach z których każdy jest podzielony na kilka, a nawet jak niektóre, na kilkanaście rozdziałów, przyczem w końcu każdego działu znajdujemy zestawienie literatury, dotyczącej treści danego działu.

Przytaczanie literatury uważamy za bardzo cenne i godne naśladowania przy wydawnictwie wszelkich dzieł technicznych, gdyż szeroki ogół techników, nie posiadający w większości wypadków ani możliwości ani czasu na śledzenie za rozwojem literatury technicznej, będzie mógł być w ten sposób chociaż w pewnej mierze zorientowany, z drugiej strony ewentualna konieczność pogłębienia wiadomości z pewnego działu, zbyt krótko ujętego w książce, będzie znacznie ułatwiona.

Dział pierwszy został poświęcony podstawom elektrotechniki. Został on ujęty przy pomocy matematyki wyższej, wymaga więc od czytelnika pewnej jej znajomości.

W dziale drugim zostało omówione miernictwo elektrotechniczne. Ważny ten dział elektrotechniki, bez którego korzystanie z energii elektrycznej byłoby niemożliwe, obejmuje pięć rozdziałów.

Uwzględnione zostały jednostki pomiarowe i wzorce, budowa przyrządów pomiarowych, ich działanie oraz metody pomiarowe.

Obszernie i wyczerpująco został opracowany dział trzeci i czwarty, obejmujący maszyny elektryczne oraz prostowniki. Działy te, może zbyt skromne dla konstruktorów maszyn elektrycznych, przedstawiają dla ruchowców lub techników cenny materiał, zarówno informacyjny jak naukowy. Zasady działania, badania maszyn, obliczenia teoretyczne, przykłady liczbowe, szereg tablic i liczne rysunki dają czytelnikowi przejrzysty materiał do zaznajomienia się z często spotykaną, a w wielu wypadkach obcą mu maszyną. W następnym wydaniu należałoby w rozdziale badania maszyn umieścić wyjątki z „Przepisów oceny i badania maszyn elektrycznych“ P. N. E. 23/1932, a mianowicie, tablicę z dopuszczalnymi przyrostami temperatur części maszyn oraz tablicę z tolerancjami dla gwarantowanych wielkości maszyn elektrycznych.

Dział piąty, traktujący o akumulatorach ołowianych oraz zasadowych, dość ważny ze względu na szerokie zastosowanie akumulatorów i barbarzyńskie nieraz obchodzenie się z nimi w ruchu, zawiera zasadnicze dane, ujęte może zbyt encyklopedycznie, co jest ze szkoda zarówno dla czytelnika, szukającego w „Elektryku“ porady, jak i dla całego szeregu baterji, będących niemal że nie maszyną, lecz materiałem doświadczalnym w ręku niefachowca. W bibliografji tego działu należałoby wymienić z literatury polskiej wydawnictwo Dyrekcji Warszawskiej P. K. P. „Oświetlenie elektryczne wagonów“ w którym jest dość spory dział, poświęcony akumulatorom.

Dział szósty, jeden z obszerniejszych, gdyż zawierający dziewięć rozdziałów, omawia technikę przewodów elektrycznych. Uwzględniono tu przede wszystkim najnowsze przepisy polskie, dalej opracowano materiały, dotyczące projektowania, obliczenia i wykonania najróżnorodniejszych linii i sieci elektrycznych, nie pomijając dalekonośnych linii wysokiego napięcia, z uwzględnieniem wszystkich elementów linii jak przewody, słupy, fundamenty, izolatory i t. d.

Mamy pewne zastrzeżenia co do treści rozdziału VI „Przepisy techniczne“, o których pomówimy obszerniej niżej. Tu nadmienimy, że, dając rozdziałowi

wymieniony tytuł, autor mimowoli wprowadza, mało obznajomionego z przepisami czytelnika, w błąd, gdyż ten, nie znajdując w treści wymienionego rozdziału wzmianki o innych, właściwych przepisach technicznych na linie elektryczne prądu silnego, raz że nie powiąże myślowo w jedną wyraźną całość, rozsiąanych w dziale VI skrótów tytułowych odpowiednich przepisów, a powtórę dojdzie do fałszywych wniosków, iż przytoczone przepisy są jedynymi w tym zakresie.

Pozatem dział ten zawiera tyle bogatego materiału, że może z powodzeniem służyć jako źródło dla projektującego linie elektryczne.

Temat działu siódmego „Elektrownie i podstacje” stanowi sam w sobie tak obszerne zagadnienie, iż przytoczenie materiałów, mogących służyć do szczegółowych projektów, należy uważać za wręcz niemożliwe. Mimo tych trudności autor podał pewne wytyczne podstaw projektowania elektrowni, rozdzielni i podstacji, uwzględniając w pierwszym rzędzie najważniejsze zagadnienia zabezpieczenia urządzeń elektrycznych.

Ostatnia część działu jest poświęcona gospodarce elektrycznej, a więc obliczeniom kosztów eksploatacji, taryfom oraz pojęciom, charakteryzującym ruch elektrowni. Dla niewiadomych bliżej powodów autor nie przytoczył żadnego dzieła, traktującego o tak ważnych zagadnieniach jak budowa elektrowni i podstacji

Ósmy dział został poświęcony oświetleniu. Temat ten, dość trudny do rozwinięcia w wąskich ramach referatu, został tu, jak zwykle dzięki ograniczonemu miejscu, przedstawiony dość zawile. Oczywiście, że przytoczone tabele i wykresy nie nasuwają żadnych wątpliwości, natomiast to co stanowi we wszystkich kalendarzach technicznych słabą stroną działu „Oświetlenie”, i tu nie zostało uratowane.

Mamy na myśli rozdział IV „Obliczenia przy projektowaniu oświetlenia”. Wymienione przez autora metody projektowania oświetlenia oraz dzieła specjalne z tej dziedziny powinny czytelnikowi ułatwić zebranie potrzebnego mu materiału.

Zasadnicze pojęcie o możliwościach wyzyskania energii elektrycznej w celach grzejących zostały ujęte w dziale dziewiątym.

W dziale dziesiątym — omówione zostały rodzaje napędów elektrycznych, ich wybór oraz zagadnienia regulacji obrotów silników.

Dwa ostatnie działy o elektromagnesach i kolejniectwie elektrycznym obejmują tematy tak specjalne, iż autorzy ograniczyli się do podania tylko zasadniczych pojęć o istocie tematu, natomiast dla umożliwienia głębszego zaznajomienia się z przedmiotem przytoczyli obszerną bibliografię.

Spis rzeczy oraz obszerny skorowidz alfabetyczny stanowią zakończenie pracy.

Korzystając z umieszczonego w przedmowie wezwania redakcji do zgłaszania spostrzeżeń co do treści i formy dzieła, mających być przyczynkami do udoskonalenia wydawnictwa, pozwolimy sobie na przytoczenie paru uwag.

Pomimo rzetelnego opracowania wydawnictwa nie udało się jednak uniknąć drobnych usterek, polegających w pierwszym rzędzie na niedokładnej korekcie, co przypisujemy zbytniemu pośpiechowi przy opracowywaniu wydawnictwa. Żałować również należy, iż treść niektórych działów nie została dostatecznie zilustrowana schematami i wykresami (np. działy II, III i VI), dzięki czemu dla nieelektryków pewne ustępy będą stanowiły niejedną zagadkę. Ujednostajnienie skrótów czyto wydawnictw czy przepisów będzie jedną z pierwszych poprawek następnego wydania. Dla wtajemniczonych takie skróty jak P. E. (Przegląd elektrotechniczny), S. E. P., lub P. N. E., nie stanowią rebusa, lecz dla pozostałej większości należy się zestawienie ich i opisanie.

Musimy w końcu podkreślić, iż przepisy elektrotechniczne, stanowiące dla nieelektryków (a może i dla niejednego elektryka) pewnego rodzaju podręczniki z dziedziny elektrotechniki, nie znalazły tu należytego uwypuklenia. Im to powinien być poświęcony dział ostatni, z dokładnym zestawieniem wydanych dotychczas przepisów polskich oraz bibliografią przepisów zagranicznych.

Pomimo tych niedokładności omówiona książka z pewnością przyczyni się do podniesienia poziomu wiedzy elektrotechnicznej, co w dostatecznej mierze upoważnia nas do polecenia jej jaknajszerszemu gronu techników.

Inż. K. W.

TRESĆ: A. E. Sierżputowski, inż. O sposobach obliczania i projektowania połączeń rurowych na parę wysokoprężną i wysoko przegrzaną. — S. Jamróz, dr. inż. Zagadnienie dopuszczalnych naprężeń dla blach kotłowych z uwzględnieniem wpływu temperatury. — K. Szawłowski, inż. Ciepło w silnikach Diesel'a według obliczeń i wykresów entropijnych (TS). — Z. Klębowski, inż. Cienkościenne naczynie kształtu powierzchni obrotowej o raptownie zmieniającym się promieniu krzywizny tworzącej. — PRZEGLĄD WYDAWNICTW. K. W., inż. Elektryk. Podręcznik elektrotechniki prądów silnych opr. pod redakcją prof. M. Pożaryskiego.

SOMMAIRE: A. E. Sierżputowski, ing. Le calcul et la construction des joints des tubes pour la vapeur de très haute pression et de très haute sur chauffe. — S. Jamróz, dr. ing. Les limites de tension des tôles des chaudières au point de vue de la température des tôles. — K. Szawłowski, ing. La chaleur dans les moteurs Diesel d'après le calcul et le diagramme d'entropie. — Z. Klębowski, ing. Les récipients à parois minces avec courbure variable. — RECENSIONS. K. W., ing. Elektryk. Manuel de l'électrotechnique publié sous la redaction du proff. M. Pożaryski.